

# 亚氯酸盐 - 硫代硫酸盐非缓冲体系的动力学\*

王舜<sup>1,2</sup> 高庆宇<sup>1</sup> 王新红<sup>1</sup> 林娟娟<sup>2</sup> 赖顺安<sup>1</sup> 莫言学<sup>1</sup>

(<sup>1</sup> 中国矿业大学化工学院, 徐州 221008; <sup>2</sup> 温州师范学院化学与材料科学系, 温州 325027)

**摘要** 研究了亚氯酸盐 - 硫代硫酸盐反应体系在非缓冲条件下的复杂动力学行为。结果发现, 在开放体系中反应的 pH 值和 Pt 电位存在准周期振荡分叉和混合模式振荡分叉通向混沌的过程, 且 pH 峰与 Pt 电位峰反相位。当  $[ClO_2^-]$  与  $[S_2O_3^{2-}]$  起始浓度比相对较小时, 随着流速的逐渐升高, 体系的 pH 值和 Pt 电位从简单的小振幅振荡 (S) 经过准周期振荡分叉到混沌, 最后回到简单大振幅振荡 (L); 而当  $[ClO_2^-]$  与  $[S_2O_3^{2-}]$  起始浓度比相对较高时, 随着流速的降低, 体系的 pH 值和 Pt 电位出现 LS<sup>1</sup>、LS<sup>2</sup>、LS<sup>3</sup>…LS<sup>n</sup> 的混合模式振荡, 并在每对 (LS<sup>n</sup>, LS<sup>n+1</sup>) 振荡区间发现了 LS<sup>n</sup>, LS<sup>n+1</sup> 随机出现的非周期振荡行为。运用硫价态变化的一般动力学模型, 模拟出了反应体系的混合模式振荡及非周期振荡。

**关键词:** 准周期振荡, 混合模式振荡, 动力学模拟

**中图分类号:** O643

近年来硫代硫酸盐氧化反应动力学和热力学已引起人们极大的兴趣<sup>[1-3]</sup>。硫代硫酸盐的氧化过程涉及多种硫价态物种的产生, 除  $S_8$ 、 $S_n^{2-}$ 、 $S_2O_3^{2-}$ 、 $SO_3^{2-}$ 、 $HSO_3^-$  和  $SO_4^{2-}$  外,  $HOS_2O_3^-$ 、 $S_5O_6^{2-}$  和  $S_6O_6^{2-}$  等离子的存在也已被实验所证实<sup>[4-6]</sup>。但同时硫代硫酸盐的氧化机理异常复杂, 至今尚未清晰。Epstein 等<sup>[7-12]</sup>研究了硫代硫酸盐与亚氯酸盐的缓冲体系非线性动力学行为, 如准振荡、双稳态、混合模式振荡、准周期振荡、混沌和时空图案等。Rabai 等<sup>[13]</sup>认为氯元素价态的变化是体系复杂动力学行为的主要来源, 但不能解释封闭体系的 pH 准振荡、开放体系的 pH 持续振荡及 pH 前沿波现象。Gao 等<sup>[14]</sup>则提出氯元素的自身氧化动力学可以忽略, 体系硫价态的改变是其复杂动力学产生的主要原因, 体系 pH 的上升和下降来源于硫元素从 -2 价到 0 价再到 +6 价的复杂价态变化过程<sup>[14-15]</sup>。因此, 在非缓冲条件下研究亚氯酸盐 - 硫代硫酸盐开放体系的复杂 pH 动力学行为无疑是深入了解反应机理的重要途径。

pH 探针在硫代硫酸盐与亚氯酸盐非线性反应体系已得到成功运用, 发现了封闭体系的 pH 值与 Pt 电位反相位准振荡和开放体系的 pH 值持续振荡现象<sup>[12, 16]</sup>。本文主要探讨在非缓冲条件下的

$ClO_2^- - S_2O_3^{2-}$  开放体系的复杂动力学, 结果发现, 在开放体系中, 体系的 pH 值和 Pt 电位存在准周期振荡分叉和混合模式振荡分叉通向混沌的过程。我们在硫的氧化非线性反应动力学和机理研究工作的基础上<sup>[16-17]</sup>, 运用硫价态变化为核心的  $S_2O_3^{2-}$  [简写为硫 (-II)] 氧化动力学的一般模型, 模拟出了反应体系中的复杂动力学。

## 1 实验

所有试剂均为分析纯以上纯度。亚氯酸钠 (MCB 产品, 纯度大于 95%) 在体积比为 3 : 1 的丙酮 - 水混合溶剂中三次重结晶, 用碘量法测定纯度达 99% 以上。溶液用亚沸高纯水配制。实验以  $K_2SO_4$ -I 型硫酸亚汞电极 (上海雷磁仪器厂) 为参比电极, 213 型 Pt 电极 (上海雷磁仪器厂), 231 型玻璃电极 (上海电光器件厂) 分别测定反应体系的 Pt 电位和 pH 值。实验现象通过 Powerlab 动力学接口系统采集并通过 IBM 计算机进行结果处理。开放体系实验在体积为 28 mL 的有机玻璃恒温连续搅拌流动反应器 (CSTR) 中进行, 搅拌速率约为 1200  $r \cdot min^{-1}$ 。反应溶液  $H_2SO_4$ 、 $NaClO_2$  和  $Na_2S_2O_3$  分三个通道连续通入 CSTR, 由高精度蠕动泵 (瑞士 IS-

2003-01-07 收到初稿, 2003-03-12 收到修改稿。联系人: 高庆宇 E-mail: gaoqy@cumt.edu.cn; Tel: 0516-3885344-8。\*国家自然科学基金 (20103010) 及教育部优秀青年教师资助项目

MATEC 公司, 精度为  $0.001 \text{ mL} \cdot \text{min}^{-1}$ ) 控制进液速率.

## 2 实验结果与讨论

### 2.1 实验结果

#### 2.1.1 准周期振荡

Orban 等<sup>[18]</sup>认为, 在  $\text{pH} \leq 3$  时,  $\text{ClO}_2^- - \text{S}_2\text{O}_3^{2-}$  反应体系难以观察到复杂振荡, 但我们在非缓冲条件下, 使用适当浓度的氧化剂和还原剂, 体系可呈现复杂的动力学现象. 如图 1 所示, 当体系的起始  $\text{pH}$  值控制在  $2.4 \sim 3.0$ ,  $[\text{H}_2\text{SO}_4]_0 = 3.6 \times 10^{-4} \text{ mol} \cdot \text{L}^{-1}$ ,  $[\text{NaClO}_2]_0 = 9.92 \times 10^{-4} \text{ mol} \cdot \text{L}^{-1}$ ,  $[\text{Na}_2\text{S}_2\text{O}_3]_0 = 8.45 \times 10^{-4} \text{ mol} \cdot \text{L}^{-1}$  时, 随着流速的逐渐升高, 体系的  $\text{pH}$  值与 Pt 电位从低流速时的小振幅的简单振荡(图 1a)到准周期振荡(图 1b), 再到混沌(图 1c), 再到大振幅简单振荡(图 1d).

#### 2.1.2 混合模式振荡

固定  $[\text{H}_2\text{SO}_4]_0 = 3.6 \times 10^{-4} \text{ mol} \cdot \text{L}^{-1}$  和  $[\text{NaClO}_2]_0$

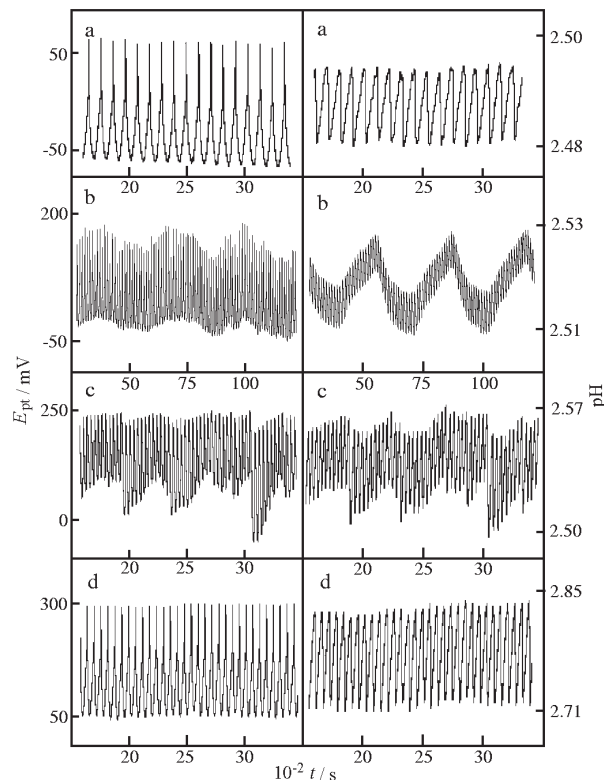


图 1 亚氯酸盐 - 硫代硫酸盐非缓冲反应体系准周期振荡和混沌

**Fig. 1 Quasiperiodic oscillations and chaos of unbuffered chlorite-thiosulfate system in a CSTR**  
 $[\text{NaClO}_2] = 9.92 \times 10^{-4} \text{ mol} \cdot \text{L}^{-1}$ ;  $[\text{Na}_2\text{S}_2\text{O}_3] = 8.45 \times 10^{-4} \text{ mol} \cdot \text{L}^{-1}$ ;  $[\text{H}_2\text{SO}_4] = 3.6 \times 10^{-4} \text{ mol} \cdot \text{L}^{-1}$ ;  $T = 28^\circ\text{C}$ ;  
 $10^4 k_0 / \text{s}^{-1}$ : a) 4.39; b) 12.5; c) 20.9; d) 107

$= 9.92 \times 10^{-4} \text{ mol} \cdot \text{L}^{-1}$ ,  $[\text{Na}_2\text{S}_2\text{O}_3]_0$  从  $8.45 \times 10^{-4} \text{ mol} \cdot \text{L}^{-1}$  降低到  $6.76 \times 10^{-4} \text{ mol} \cdot \text{L}^{-1}$  时, 使  $[\text{NaClO}_2]/[\text{Na}_2\text{S}_2\text{O}_3]$  从 1.18 变为 1.47, 体系的  $\text{pH}$  值与 Pt 电位从准周期振荡转化为混合模式振荡(如图 2). 从图 2 可知, 当流速逐渐降低时, 体系的  $\text{pH}$  值与 Pt 电位在经过一段流速范围的稳态和简单大振幅振荡(L)后, 接着出现  $\text{LS}^1$ (图 2a),  $\text{LS}^2$ (图 2b),  $\text{LS}^3$ (图 2d), …, 小峰数目逐渐增加的混合模式振荡行为, 最后体系以小振幅的简单振荡(S)结束; 同时在每对( $\text{LS}^n$ ,  $\text{LS}^{n+1}$ )振荡区间发现了  $\text{LS}^n$ 、 $\text{LS}^{n+1}$  随机出现的非周期振荡现象(图 2c), 预示着体系可能存在混合模式振荡分叉所导致的混沌.

同时图 1 和图 2 的实验结果还表明, 在非缓冲条件下, 体系复杂振荡的  $\text{pH}$  峰与 Pt 电位峰反相位, 这与封闭体系中  $\text{pH}$  峰与 Pt 电位峰反相位相对应<sup>[16]</sup>, 也与硫代硫酸盐与其它氧化剂(如  $\text{H}_2\text{O}_2$ 、 $\text{IO}_3^-$ )的动力学行为相似<sup>[15, 18-19]</sup>. 另从图 1 和图 2 可知: 从表面上看, 该反应体系  $\text{pH}$  振荡的振幅相对较小, 但实际上该反应体系  $[\text{H}^+]$  的改变量在  $3.83 \times 10^{-5} \text{ mol} \cdot \text{L}^{-1}$  与  $3.83 \times 10^{-4} \text{ mol} \cdot \text{L}^{-1}$  之间, 接近甚至超过基于硫代硫酸盐的典型  $\text{pH}$  驱动振荡器  $[\text{H}^+]$  的改变量(表 1).

### 2.2 机理讨论与数值模拟

Thompson 和 Gao 等<sup>[14, 16]</sup>提出的以硫价态变化

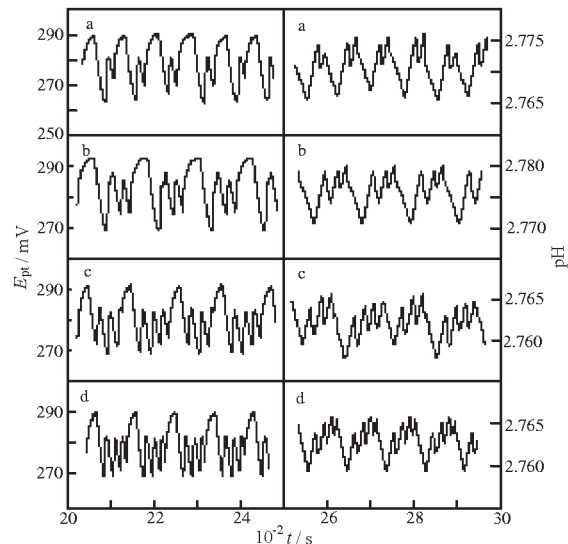


图 2 亚氯酸盐 - 硫代硫酸盐非缓冲反应体系的混合模式振荡

**Fig. 2 Mixed-mode oscillations of unbuffered chlorite-thiosulfate system in a CSTR**  
 $[\text{NaClO}_2] = 9.92 \times 10^{-4} \text{ mol} \cdot \text{L}^{-1}$ ;  $[\text{Na}_2\text{S}_2\text{O}_3] = 6.76 \times 10^{-4} \text{ mol} \cdot \text{L}^{-1}$ ;  $[\text{H}_2\text{SO}_4] = 3.6 \times 10^{-4} \text{ mol} \cdot \text{L}^{-1}$ ;  $T = 25^\circ\text{C}$   
 $10^3 k_0 / \text{s}^{-1}$ : a) 3.12; b) 2.86; c) 2.41; d) 2.05

表 1 部分硫代硫酸盐振荡器 pH 值的变化区间与  $[H^+]$  改变量的关系Table 1 The relationship between  $\Delta pH$  and  $\Delta [H^+]$  in some thiosulfate-based oscillators

Oscillation system	Range of pH oscillation	$\Delta pH$	$\Delta [H^+]/\text{mol} \cdot L^{-1}$	Ref.
$H_2O_2 - S_2O_3^{2-} - SO_3^{2-} - H^+$	5.00 ~ 7.00	2.00	$9.90 \times 10^{-5}$	[15]
$H_2O_2 - S_2O_3^{2-} - Cu^{2+} - H^+$	5.00 ~ 8.50	3.50	$1.00 \times 10^{-5}$	[18]
$IO_3^- - S_2O_3^{2-} - SO_3^{2-} - H^+$	4.90 ~ 7.00	2.10	$1.25 \times 10^{-5}$	[19]
$IO_4^- - S_2O_3^{2-}$	4.10 ~ 6.20	2.10	$7.88 \times 10^{-5}$	[20]
$ClO_2^- - S_2O_3^{2-} - H^+$	2.73 ~ 2.83	0.10	$3.83 \times 10^{-4}$	Fig. 1d

表 2 硫 (- II) 氧化动力学的一般模型以及速率方程和速率常数

Table 2 Reactions, rate equations and rate constants of the general model for the S(- II) system

No.	Reaction	Rate equation	Rate constants at 25 °C
R1	$OX + S(- II) \rightarrow S(0) + OH^-$	$k_1[OX][S(- II)]$	$k_1 = 0.021 \text{ L} \cdot \text{mol}^{-1} \cdot \text{s}^{-1}$
R2	$S(0) + S(- II) \rightarrow S(- I) + OH^-$	$k_2[S(0)][S(- II)]$	$k_2 = 50 \text{ L} \cdot \text{mol}^{-1} \cdot \text{s}^{-1}$
R3	$S(- I) + OX \rightarrow S(0)$	$k_3[S(- I)][OX]$	$k_3 = 0.01 \text{ L} \cdot \text{mol}^{-1} \cdot \text{s}^{-1}$
R4	$S(- I) + OX + OH^- \rightarrow 2S(0) + OH^-$	$k_4[S(- I)][OX][OH^-]$	$k_4 = 8.0 \times 10^5 \text{ L}^2 \cdot \text{mol}^{-2} \cdot \text{s}^{-1}$
R5	$S(0) + OX \rightarrow S(II)$	$k_5[S(0)][OX]$	$k_5 = 1.0 \text{ L} \cdot \text{mol}^{-1} \cdot \text{s}^{-1}$
R6	$S(0) + OX + OH^- \rightarrow S(II) + OH^-$	$k_6[S(0)][OX][OH^-]$	$k_6 = 1.2 \times 10^6 \text{ L}^2 \cdot \text{mol}^{-2} \cdot \text{s}^{-1}$
R7	$S(II) + OX \rightarrow HSO_3^- + 2H^+$	$k_7[S(II)][OX]$	$k_7 = 1.0 \times 10^{11} \text{ L} \cdot \text{mol}^{-1} \cdot \text{s}^{-1}$
R8	$HSO_3^- + OX \rightarrow SO_4^{2-} + H^+$	$k_8[HSO_3^-][OX]$	$k_8 = 7.0 \text{ L} \cdot \text{mol}^{-1} \cdot \text{s}^{-1}$
R9	$HSO_3^- + OX + H^+ \rightarrow SO_4^{2-} + 2H^+$	$k_9[HSO_3^-][OX][H^+]$	$k_9 = 2.0 \times 10^6 \text{ L}^2 \cdot \text{mol}^{-2} \cdot \text{s}^{-1}$
R10	$SO_4^{2-} + OX \rightarrow SO_4^{2-}$	$k_{10}[SO_4^{2-}][OX]$	$k_{10} = 0.2 \text{ L} \cdot \text{mol}^{-1} \cdot \text{s}^{-1}$
R11	$HSO_3^- \rightarrow SO_3^{2-} + H^+$	$k_{11}[HSO_3^-]$	$k_{11} = 3.0 \times 10^3 \text{ s}^{-1}$
R12	$SO_3^{2-} + H^+ \rightarrow HSO_3^-$	$k_{12}[SO_3^{2-}][H^+]$	$k_{12} = 5.0 \times 10^{10} \text{ L} \cdot \text{mol}^{-1} \cdot \text{s}^{-1}$
R13	$H_2O \rightarrow H^+ + OH^-$	$k_{13}[H_2O]$	$k_{13}[H_2O] = 1.0 \times 10^{-3} \text{ mol} \cdot L^{-1} \cdot s^{-1}$
R14	$H^+ + OH^- \rightarrow H_2O$	$k_{14}[H^+][OH^-]$	$k_{14} = 1.0 \times 10^{11} \text{ L} \cdot \text{mol}^{-1} \cdot \text{s}^{-1}$

$OX$ ,  $S(- II)$ ,  $S(- I)$ ,  $S(0)$ ,  $S(II)$  表示氧化剂,  $S_2O_3^{2-}$ ,  $S_4O_6^{2-}$ ,  $HOS_2O_3^-$  和  $HO_2S_2O_3^-$ , 分别表示  $S_2O_3^{2-}$ ,  $S_4O_6^{2-}$ ,  $HOS_2O_3^-$  和  $HO_2S_2O_3^-$ 。

为核心的硫 (- II) 氧化动力学的一般模型已成功地模拟出该反应体系在封闭条件下的 pH 准振荡和开放条件下的 pH 持续振荡行为。基于硫化学的复杂性, 我们运用了包含 14 步反应机理的一般模型 (表 2)。表 2 中  $OX$  代表 2 电子的氧化剂 (主要是  $ClO_2^-$  和  $ClO^-$ ),  $S(- II)$ 、 $S(- I)$ 、 $S(0)$  与  $S(II)$  分别为  $S_2O_3^{2-}$ 、 $S_4O_6^{2-}$ 、 $HOS_2O_3^-$  和  $HO_2S_2O_3^-$ 。R1 和 R2 对应  $H^+$  的负反馈过程, R7 ~ R9 构成  $H^+$  的正反馈过程, R3 ~ R6 以及 R10 为中间过渡反应, R11 ~ R14 为质子平衡反应。分别运用半隐式 Runge-Kutta 法<sup>[21]</sup> 和 Gear 算法<sup>[22]</sup>进行模拟。R1 ~ R14 可以模拟出亚氯酸盐 - 硫代硫酸盐反应体系复杂的 pH 动力学行为。模拟出反应体系的混合模式振荡: 随着流速逐渐降低, 体系从大振幅的简单振荡 (L) 到混合模式振荡, 最后简单小振荡结束。图 3 模拟出  $LS^2$  (图 3a)  $\rightarrow LS^2$  和  $LS^3$  混杂的非周期振荡 (图 3b)  $\rightarrow LS^3$  (图 3c)。由于未考虑溶液存在多种缓冲对 (如  $ClO_2^-$ - $HClO_2$ ,  $SO_4^{2-}$ - $HSO_4^-$  和  $HSO_3^-$ - $SO_3^{2-}$ ) 和亚氯酸的氧化性与酸度的关系, 模拟的 pH 振荡范围远大于实验值。关于此一般模型进一步的数值模型

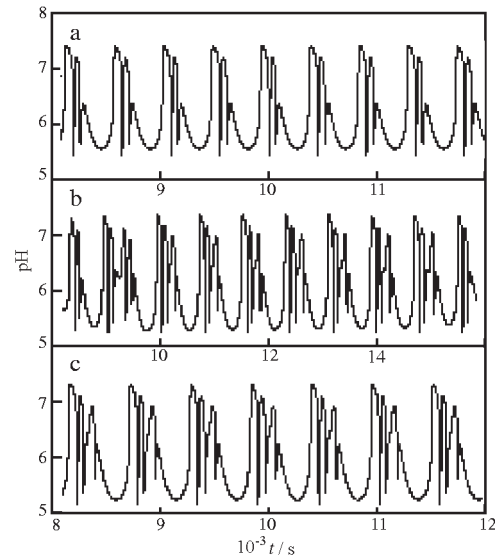


图 3 用一般模型 (R1 ~ R14) 计算的 pH 在开放体系中的混合模式振荡行为

Fig. 3 Calculated pH mixed-mode oscillations in a CSTR using the general model (R1 ~ R14)

$$[OX] = 0.014 \text{ mol} \cdot L^{-1}; [S(- II)] = 0.0026 \text{ mol} \cdot L^{-1};$$

$$[H^+] = 4.80 \times 10^{-4} \text{ mol} \cdot L^{-1}; T = 25^\circ\text{C};$$

$$10^4 k_0 / \text{s}^{-1}: \text{a}) 6.80; \text{b}) 6.76; \text{c}) 6.70$$

和数学分析,我们将在其它论文中介绍.

### 3 结 论

通过研究 $\text{ClO}_2^- - \text{S}_2\text{O}_3^{2-}$ 反应体系在非缓冲条件下的复杂动力学行为,发现pH从准周期振荡和混合模式振荡通向混沌的过程,这进一步丰富了该反应体系的复杂动力学现象.pH动力学与封闭体系的动力学性质相同,即pH与Pt电位反相位.硫价态主导的动力学模型可解释封闭体系的pH准振荡、CSTR稳态振荡及混合模式复杂振荡行为.

### References

- 1 Jorgensen, B. B. *Science*, **1990**, *249*: 152
- 2 Molleman, E. ; Dreisinger, D. *Hydrometallurgy*, **2002**, *66*: 1
- 3 Dhawale, S. W. *J. Chem. Edu.*, **1993**, *70*: 12
- 4 Foss, O. ; Kringlebotn, I. *Acta Chem. Scand.*, **1961**, *15*: 1607
- 5 Kurin-Csorgei, K. ; Orban, M. ; Rabai, G. ; Epstein, I. R. *J. Chem. Soc. Faraday Trans.*, **1996**, *92*: 2851
- 6 Rabai, G. ; Orban, M. ; Epstein, I. R. *J. Phys. Chem.*, **1992**, *96*: 5414
- 7 Orban, M. ; de Kepper, P. ; Epstein, I. R. *J. Phys. Chem.*, **1982**, *86*: 431
- 8 Orban M. ; Epstein, I. R. *J. Phys. Chem.*, **1982**, *86*: 3907
- 9 Maselko, J. ; Epstein, I. R. *J. Phys. Chem.*, **1984**, *88*: 3175
- 10 Nagypal, I. ; Bazsa, G. ; Epstein, I. R. *J. Am. Soc.*, **1986**, *108*: 3635
- 11 Szirovicza, L. ; Nagypal, I. Boga, E. *J. Am. Soc.*, **1989**, *111*: 2842
- 12 Beck, M. T. ; Rabai, G. *J. Phys. Chem.*, **1985**, *89*: 3907
- 13 Rabai, G. ; Orban, M. *J. Phys. Chem.*, **1993**, *97*: 5935
- 14 Rushing, C. W. ; Thompson, R. C. ; Gao, Q. *J. Phys. Chem. A*, **2000**, *104*: 11561
- 15 Rabai, G. ; Hanazaki, I. *J. Phys. Chem. A*, **1999**, *103*: 7268
- 16 Gao, Q. Y. ; Sun, K. ; Zhao, Y. M. ; Li, L. P. *Acta Chim. Sin.*, **2001**, *59*: 890 [高庆宇,孙康,赵跃民,李兰萍.化学学报(*Huaxue Xuabao*), **2001**, *59*: 890]
- 17 Gao, Q. Y. ; Wang, Y. M. ; Wang, G. C. ; Zhang, S. L. ; Zang, Y. R. ; Zhao, X. Z. *Sci. China, Ser. B*, **1997**, *40*: 152
- 18 Orban, M. ; Epstein, I. R. *J. Am. Chem. Soc.*, **1987**, *109*: 101
- 19 Rabai, G. ; Beck, M. T. *J. Phys. Chem.*, **1988**, *92*: 2804
- 20 Rabai, G. ; Beck, M. T. ; Kustin, K. ; Epstein, I. R. *J. Phys. Chem.*, **1989**, *93*: 2853
- 21 Kaps, P. ; Rentrop, P. *Numer. Math.*, **1979**, *33*: 55
- 22 Hindmarsh, A. C. Gear: Ordinary differential equation solver; Technical Report. No. UCM-30001, Rev. 2. Livermore, CA: Lawrence Livermore Laboratory, 1972

## Complex Kinetics of the Chlorite-Thiosulfate in an Unbuffered Reaction System\*

Wang Shun<sup>1,2</sup>      Gao Qing-Yu<sup>1</sup>      Wang Xin-Hong<sup>1</sup>      Lin Juan-Juan<sup>2</sup>      Lai Shun-An<sup>1</sup>      Mo Yan-Xue<sup>1</sup>

(<sup>1</sup>College of Chemical Engineering, China University of Mining and Technology, Xuzhou, 221008;

<sup>2</sup>Department of Chemistry and Material Science, Wenzhou Normal College, Wenzhou 325027)

**Abstract** The complex kinetics of  $\text{ClO}_2^- - \text{S}_2\text{O}_3^{2-}$  nonlinear reaction system in an unbuffered solution has been investigated in a CSTR. Both quasiperiodic and mixed-mode oscillations of pH and Pt potential were observed. At relatively low  $[\text{NaClO}_2]_0 / [\text{Na}_2\text{S}_2\text{O}_3]_0$  ratio, the system changed from small-amplitude oscillations and quasiperiodic oscillations to chaos and pure large-amplitude oscillations with increasing the flow rate. At higher initial concentration ratio, however, quasiperiodicity was given way to mixed-mode oscillations in which each period consists of one large and  $n$  small peaks ( $\text{LS}^n$ ).  $\text{LS}$ ,  $\text{LS}^2$ ,  $\text{LS}^3$ , ...,  $\text{LS}^n$  were obtained when the flow rate was decreased. For a narrow range of flow rate between each pair of periodic regions ( $\text{LS}^n$ ,  $\text{LS}^{n+1}$ ), a region of aperiodic behavior, an apparently stochastic mixture of  $\text{LS}^n$  and  $\text{LS}^{n+1}$ , was also observed. A general model based upon changes in the oxidation state of sulfur in the presence of a generic oxidant simulated the mixed-mode oscillations and aperiodic behavior.

**Keywords:** Quasiperiodic oscillations, Mixed-mode oscillations, Dynamic simulation

Received: January 7, 2003; Revised: March 12, 2003. Correspondent: Gao Qing-Yu(E-mail: gaoqy@cumt.edu.cn; Tel: 0516-3885344-8).

\*The Project Supported by NSFC(20103010) and EYTP